

## شواهد بافتی - کانی شناسی حاکی از وقوع اختلاط ماقمایی در گدازه‌های تراکی آندزیتی پالئوزن منطقه آبترش، غرب قزوین

عباس آسیابانها<sup>۱</sup>، علی کعناییان<sup>۲</sup>

۱- دانشگاه بین المللی امام خمینی (ره)، دانشکده علوم پایه، گروه زمین شناسی

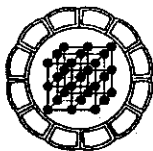
۲- دانشگاه تهران، دانشکده علوم، گروه زمین شناسی

پست الکترونیکی: [asiabanh@ikiu.ac.ir](mailto:asiabanh@ikiu.ac.ir)

(دریافت مقاله ۱۳۸۴/۵/۲۷ ، دریافت نسخه نهایی ۱۳۸۴/۹/۷)

**چکیده:** سنگهای تراکی آندزیتی منطقه آبترش در غرب قزوین با حجم و ضخامت زیاد، در گستره وسیعی (بیش از ۲۰۰ کیلومتر مربع) در غرب زون آتشفشاری البرز رخنمون دارند. این سنگها که به صورت روانه گدازه و ندرتاً دم گدازه در محیط هوای خارج شده‌اند، آخرین واحد از سنگهای معادل سازند کرج به سن پالئوزن را شامل می‌شوند و از نظر ژئوشیمیایی جزء سری شوشاونیتی رده بندی می‌شوند. مشاهده برخی روابط بافتی نظیر حاشیه‌های واکنشی، بافت غربالی و منطقه بندی نوسانی در فنوكریستهای فلدسپات و اوژیت وجود پلازیوکلازهای با ترکیب نامتعادل با هم ( $An_{55-61}, An_{66-68}, An_{77-82}$ ) و نیز تفاوت‌های ترکیبی فاحش بین ترکیب فنوكریستها و مزوتاستار دربرگیرنده آنها، حکایت از وقوع فرایندهای تحول ماقمایی در یک سیستم ترمودینامیکی باز می‌کند. همچنین شواهدی چون اپاکیتی شدن بیوتیهای فلوگوبیتی و هورنبلندهای پاراگازیتی نشان از بالا بودن  $P_{H_2O}$  و  $f_{O_2}$  طی آخرین مرحله تشکیل سنگهای مذکور دارد. با توجه به مجموع مشاهدات بافتی و کانی شناسی فوق و نیز پراکندگی داده‌های شیمی سنگهای مذکور در نمودارهای ژئوشیمیایی می‌توان نتیجه گرفت که فرایندهای ماقمایی گدازه تراکی آندزیتی از طریق ورود ضربانهایی از ماقماهای اسیدی‌تر به داخل مخزن ماقمایی بازیک و آلکالن قابل توضیح است.

**واژه‌های کلیدی:** تراکی آندزیت، زون البرز، نوار پالئوزن، بافت غربالی، منطقه بندی نوسانی، اختلاط ماقمایی



## Textural and mineralogical evidences of magma mixing in the trachyandesitic lava flows in the Ab-e-Torsh district, Western Qazvin, Iran

A. Asiabanza<sup>1</sup>, A. Kananian<sup>2</sup>

1- Geology Dept. Faculty of Science, Imam Khomeini Int. University

2- Geology Dept. Faculty of Science, Tehran University

Email: [asiabanza@ikiu.ac.ir](mailto:asiabanza@ikiu.ac.ir)

(Received: 28/11/2004, received in revised form: 18/08/2005)

**Abstract:** Trachyandesitic rocks in the Ab-e-Torsh region, western Qazvin, have considerable thickness and extensive outcrops ( $>200 \text{ Km}^2$ ) that form parts of the Alborz Paleogene volcanic belt. These rocks that can be correlated with the upper member of the Karaj formation, are subaerial eruptions with lava flows and some lava domes. Geochemically, these are classified as shoshonitic series. Occurrence of some textural evidences (e.g., reaction rims, sieve textures and oscillatory zoning in feldspars and augites phenocrysts) and coexistence of inequilibrium plagioclase phonocrysts ( $\text{An}_{5-20}$ ,  $\text{An}_{36-61}$ ,  $\text{An}_{77-93}$ ), as well as compositional differences between phonocrysts and their surrounded mesostasis, all suggest that the magmatic evolutionary processes could have been occurred in an open system. On the other hand, existence of some alterations such as opacitization in phlogopitic biotites and paragasic hornblends might be related to the late stages of the magmatic evolution with high  $f_{\text{O}_2}$  and  $P_{\text{H}_2\text{O}}$ . Considering textural and mineralogical observations, as well as dispersion of the whole rock geochemical data, one may conclude that the magmatic evolution have been occurred by periodic refreshment of alkaline and basic magma by a more acidic intrusion.

**Keywords:** Trachyandesite, Alborz Zone, Paleogene belt, Sieve texture, Oscillatory zoning, Magma mixing.

## مقدمه

سنگهای آتشفسانی و آذرآواری نوار پالئوژن در زون البرز، محصول فعل و انفعالهای متعددی حین تشکیل، صعود و تبلور ماقمای پدید آورنده آنهاست. از دیگر سو فرایندهایی چون زمین ساختی، پلوتونیسم و دگرسانی گسترده باعث پیچیده‌تر شدن و گاه مخدوش شدن آثار و پیامدهای ناشی از فعالیتهای آتشفسانی شده است. معهذا کانیهای سنگهای آتشفسانی همچون کانیهای شاخص دگرگونی، می‌توانند نشانه‌هایی از حوادث صورت گرفته طی تبلور و انجام را نشان دهند و از این رهگذر، اهمیت بالقوه‌ای در تمايز فرایندهای زمین‌شناسی ایفا می‌کنند.

منطقه آبرش واقع در شمال غرب قزوین و جنوب لوشان از نظر تقسیمات زمین‌شناسی ایران، در بخش‌های غربی زون البرز قرار دارد (شکل ۱). به غیر از رخمنوهای محدود آبرفتی پلیوکواترنر و نیز توده‌های نفوذی نیمه عمیق موزنونیتی تا گرانیتوئیدی، سایر رخمنوهای از توالیهای ضخیم آتشفسانی و ولکانی کلاستیکی پالئوژن تشکیل شده‌اند و در مجموع منطقه‌ای با توپوگرافی کوهستانی را تشکیل می‌دهند.

بخش اعظم منطقه مورد مطالعه از سنگهای آتشفسانی و آذرآواری پالئوژن تشکیل شده است (شکل ۱) که در چینه شناسی ایران، معادل سازند کرج [۱] درنظر گرفته می‌شود. اما به غیر از ماستگاههای سنی با مقطع نمونه در دره کرج، تفاوت‌های لیتولوژیکی بازی بین آنها مشهود است [۲]. بر اساس همین تفاوت‌های لیتولوژیکی که خود منبعث از تفاوت فرایندها و محیط‌های به وجود آورنده آنهاست، محققین مختلف [۱ و ۲] تقسیمات جداگانه‌ای را برای سنگهای مزبور ارائه کردند. به نحوی که مهمترین واحدهای آتشفسانی و ولکانی کلاستیک منطقه آبرش که در شرایط هوایی به منصة ظهور رسیده‌اند [۴] بر حسب ترتیب سنی عبارتنداز: ۱- روانه گدازه‌های تراکی‌بازالتی، ۲- دم گدازه‌های داسیتی، ۳- سنگهای آذرآواری، ۴- روانه گدازه‌های تراکی‌آندریتی.

از آنجا که بیشتر حجم محصولات آتشفسانی منطقه در این زمان از جنس گدازه هستند تا سنگهای آذرآواری. به همین دلیل نام «ولکانیکهای پالئوژن» را که واژه عمومی‌تری است به جای نام سازند کرج برگزیده‌ایم. آخرین واحد آتشفسانی منطقه که در بخش‌های جنوبی منطقه از حجم و گسترش قابل توجهی برخوردار است و در واقع بالاترین افق چینه‌شناسی را به خود اختصاص می‌دهد روانه گدازه‌های توده‌ای و گاه دمهای گدازه با ترکیب تراکی‌آندریتی (لاتیتی) است که در اغلب رخمنوهای روی پیروکلاستیتهای ریزشی یا به صورت بین لایه‌ای با آنها قرار می‌گیرد و گاه بین این دو یک افق پالئوسول نیز دیده می‌شود که خود تأییدی است بر محیط هوایی فوران [۴].

به علاوه، زمین ساختی فعال منطقه، باعث بروز گسل خوردگی پس از تشکیل سنگهای مزبور شده و از این جهت در حوادث پلوتونیکی و گرمابی بعدی موجبات دگرسانی بعدی را فراهم کرده و اختنی در آنها ذخایری از نوع کائولینیت، سیلیس و آلونیت را پدید آورده است [۵]

و [۶]. هدف از انجام این مطالعه، تفسیر فرآیندهای مagmaی بوجود آورنده گدازه تراکی آندزیتی از روی روابط بافتی و شیمی کانیهای است.

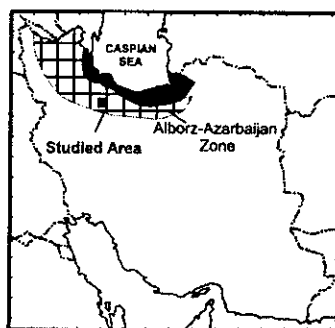


#### LEGEND

Quaternary	[Blank]	Alluvial, Agricultural grounds
Phase 3	[Cross-hatched]	Massive trachy-andesite, partly altered
Paleogene	[Diagonal hatched]	Pyroclastic deposits (Tuff, Lapilli-tuff, Volcanic Breccia), mostly altered
Phase 2	[Checkered]	Pink rhyolitic-dacitic Lavas
		Stratoid trachybasalt Lavas
		Aikali granitoids

#### Symbols

- Fault
- \* — Syncline Axe



شکل ۱ نقشه زمین شناسی منطقه و موقعیت آن در زون البرز.

### روش مطالعه

برای دستیابی به فرایندهای پدید آورنده گدازه‌های تراکی آندزیتی، پس از مشخص شدن پراکنده‌گی و نیز روابط صحرایی روانه گدازه مورد بحث از طریق نقشه برداری صحرایی، اقدام به نمونه‌گیریهای متعدد از بخش‌های مختلف رخنمون مورد بحث گردید. پس از مطالعات سنگ-شناصی اولیه، شواهدی از وقوع بافت‌های نامتعادل مشاهده شد. به همین منظور ادامه بررسیها موكول به کسب داده‌های ژئوشیمیایی از سنگ کل و نیز آنالیز میکروپروب الکترونی از برخی فنوکریستها شد. برای تعیین روابط ژئوشیمیایی، نمونه‌هایی جهت آنالیز XRF به آزمایشگاه شیمی سازمان زمین شناسی کشور ارسال شد و برای آنالیز میکروپروب نیز، نمونه‌هایی در مرکز فرانسوی تحقیقات دریایی اروپا (IFREMER) به وسیله دستگاه CAMECA-SX50 مورد تجزیه نقطه‌ای قرار گرفت (جدول ۱ و ۲).

### سنگ شناسی

سنگ‌های تراکی آندزیتی مورد بحث، در نمونه دستی به رنگ خاکستری تیره هستند و بافت‌های متنوعی چون میکرولیتیک پورفیری، جریانی، گلومرولوپورفیری و فلزیتیک را نشان می‌دهند. در این سنگ‌ها فنوکریستهای پلازیوکلаз (الیگوکلاز تا آندزین)، سانیدین، کوارتز، مقدار کمی اوزیت و الیوین همراه با فلوگوپیت آهن‌دار و هورنبلند پاراگازیتی و ریز بلورهای آپاتیت و کانیهای کدر (شامل ماغنتیت، کالکوپیریت و هماتیت) در خمیره‌ای شیشه‌ای و میکرولیتی قرار گرفته‌اند. به دلیل دگرسانیهای دوتربیک، گرمابی و حتی دویتریک، کانیهای مورد اشاره غالباً به کانیهای ثانویه دیگری تبدیل شده‌اند که مشاهدات زیر حکایت از وقوع این پدیده‌ها دارند:

- اکسایش بیوتیت و هورنبلند به اکسیدهای آهن هنگام بیرون ریزی گدازه در محیط هوایی.
- سریسیتی شدن پلازیوکلاز و سانیدین ناشی از دگرسانی گرمابی.
- کلریتی شدن فازهای مافیک نظیر بیوتیت، آمفیبول، اوزیت و مزوستاز بین بلورها ناشی از دگرسانی گرمابی و دویتریک.
- زئولیتی شدن ناشی از دگرسانی گرمابی.
- ایدینگسیتیزاسیون الیوین.
- سوسوریتیزاسیون و سیلیسی شدن فلدوپاتها.

شکل ۲ نام سنگ‌های مذکور را در نمودار TAS [۷] نشان می‌دهد. در نمودار مذکور جهت مقایسه و طرح مبانی بحث قسمت بعد، نقاط مبین روانه گدازه‌های تراکی بازالتی نیز اورده شده‌اند. چنانچه معلوم است این نمونه‌ها با نمونه‌های تراکی آندزیتی قربات ترکیبی زیادی نشان می‌دهند. موضوع چگونگی ارتباط زایشی بین آنها بحث برانگیز و پاسخ به آن مورد توجه این بررسی بوده است.

جدول ۱ نتایج تجزیه میکروپروروب فنوگریستهای پلازموکلار

شماره نقطه	۱۹۳/۱۲۲	۱۹۵/۱۲۲	۱۹۶/۱۲۲	۱۹۷/۱۲۲	۱۹۸/۱۲۲	۱۹۹/۱۲۲	۲۰۱/۱۲۲
SiO <sub>2</sub>	۴۶/۰۶۷	۰۵/۰۹۶	۰۵/۰۷	۰۵/۰۸	۰۵/۰۹۹	۴۹/۱۲۷	۴۸/۰۱۲
TiO <sub>2</sub>	-	-/۰۱۵	-	-/۰۱۷	-/۰۰۵	-/۰۲	-/۰۰۵
Al <sub>2</sub> O <sub>3</sub>	۲۲/۰۲۹	۲۱/۰۱۷	۲۱/۰۴۴	۲۷/۰۳۰	۲۶/۰۱۹	۲۲/۰۲۴	۳۲/۰۳۰
FeO <sub>(t)</sub>	-/۰۹۱	-/۰۶۱	-/۰۹۷	-/۰۵۹	-/۰۷۳	-/۰۱	-/۰۰۷
MnO	-/۰۳	-/۰۴۱	-/۰۳	-	-	-	-
MgO	-/۰۴۷	-/۰۴۳	-/۰۴۳	-/۰۱۲	-/۰۹۹	-/۰۸۷	-/۰۰۲
CaO	۱۷/۰۷۴	۱۱/۰۴۸	۱۱/۰۲۶	۱/۰۷۷۸	۱/۰۵۴۳	۱۰/۰۰۱	۱۶/۰۴۱
Na <sub>2</sub> O	۱/۰۷۳	۴/۰۹۲	۴/۰۳۹	۴/۰۰۴	۴/۰۴۲	۴/۰۸	۴/۰۱۷
K <sub>2</sub> O	-/۰۹۶	-/۰۸۰	-/۰۲۶	-/۰۲۳	-/۰۰۴	-/۰۲۳	-/۰۱۸
P <sub>2</sub> O <sub>5</sub>	-	-	-	-	-	-	-
Total	۹۹/-۰۷	۱۰/-۰۵۲	۱۰/-۰۱۳	۹۹/۰۰	۹۷/۰۱	۱۰/-۰۴۴	۱۰/-۰۰۵
%An	۸۲/۰-	۰۵/-۰۷	۰۵/۰۴	۰۵/۰۰	۰۵/۰۰	۷۶/۰۱	۷۹/۰۹
شماره نقطه	۲۴۸/۱۲۲	۲۴۷/۱۲۲	۹/۱۲۵	۱۵/۰۱۰	۱۶/۰۱۰	۱۷/۰۱۰	۱۸/۰۱۰
SiO <sub>2</sub>	۰۵/۰۷۸	۰۵/۰۷۱	۰۵/۰۴۴	۰۵/۰۴۹	۰۵/۰۰۷۲	۴/۰۰۳	۰/۰۰۴
TiO <sub>2</sub>	-/۰۳	-/۰۰	-/۰۰۳	-/۰۰۶	-/۰۰۳	-/۰۰۴	-/۰۰۶
Al <sub>2</sub> O <sub>3</sub>	۲۱/۰۹۰	۲۱/۰۵۰	۲۱/۰۱۷	۲۱/۰۰۷	۲۱/۰۰۷	۲۱/۰۰۷	۲۱/۰۰۷
FeO <sub>(t)</sub>	-/۰۷۰	-/۰۵۰	-/۰۰۶	-/۰۰۶	-/۰۰۳	-/۰۰۴	-/۰۰۲
MnO	-	-/۰۱۲	-/۰۰۸	-	-/۰۰۸	-/۰۰۸	-/۰۰۳
MgO	-/۰۷۱	-/۰۲۱	-/۰۰۷	-/۰۰۹	-/۰۰۱	-/۰۰۴	-/۰۰۴
CaO	۱۱/۰۲۴	۱/۰۱۸۰	۱/۰۰۴۳	۱/۰۰۳۳	۹/۰۰۳	۷/۰۰۲	۱/۰۰۰۳
Na <sub>2</sub> O	۴/۰۹۰	۰/۰۲۴۷	۴/۰۰۷۸	۴/۰۰۰	۰/۰۰۸	۴/۰۰۱۲	۴/۰۰۱۱
K <sub>2</sub> O	-/۰۰۹	-/۰۰۰	-/۰۰۹۲	-/۰۰۴۶	-/۰۰۷	-/۰۰۰	۱/۰۱۲۴
P <sub>2</sub> O <sub>5</sub>	-	-	-	-	-	-	-
Total	۹۹/۰۰۰	۱۰/-۰-	۱۰/-۰۱۰	۱۰/-۰۰۹۶	۱۰/-۰۰۷	۱۰/-۰۰۴۷	۱۰/-۰۰۰۶
%An	۰۵/۰۷	۰۴/۰۷	۰۴/۰۰	۰۴/۰۰	۰۴/۰۰	۰۴/۰۰	۰۴/۰۰
نقطه شماره	۱۹/۰۱۰-	۲۱/۰۱۰-	۲۱/۰۱۰	۲۱/۰۱۰	۲۱/۰۱۰	۱۷/۰۱۰	۱۸/۰۱۰
SiO <sub>2</sub>	۰۵/۰۷۲۰	۰۵/۰۴۷	۰/۰۰۹	۰/۰۰۴۶	۰/۰۰۸۳	۰/۰۰۳۰	۰/۰۰۳۰
TiO <sub>2</sub>	-/۰۱	-/۰۰۶	-/۰۰۳۷	-/۰۰۲۶	-/۰۰۲۸	-	-
Al <sub>2</sub> O <sub>3</sub>	۲۱/۰۹۲۷	۲۱/۰۷۷	۲۱/۰۰۷	۲۱/۰۰۷۰	۲۱/۰۰۷	۲۱/۰۰۷۳	۲۱/۰۰۷۷
FeO <sub>(t)</sub>	-/۰۷۶	-/۰۳۹۳	-/۰۰۸	-/۰۱۶	-/۰۰۲۸	-/۰۰۳۳	-/۰۰۳۰
MnO	-/۰۲۲	-	-	-	-	-/۰۰۸	-
MgO	-/۰۰۰	-/۰۱	-	-/۰۰۱	-	-/۰۰۲	-
CaO	۹/۰۰۲۴	۱/۰۰۷۸	۹/۰۰۲۲	۹/۰۰۰	۹/۰۰۰	۱/۰۰۰	۹/۰۰۰
Na <sub>2</sub> O	۰/۰۷۹۲	۴/۰۰۷	۹/۰۰۱۶	۹/۰۰۰	۹/۰۰۰	۰/۰۰۰	۹/۰۰۰
K <sub>2</sub> O	-/۰۲۱	-/۰۰۱	-/۰۰۱	-/۰۰۶	-/۰۰۲	-/۰۰۲	-/۰۰۰
P <sub>2</sub> O <sub>5</sub>	-	-	-	-	-	-	-
Total	۱۰/-۰۱۷	۱۰/-۰۰۱	۱۰/-۰۰۳	۱۰/-۰۰۷	۱۰/-۰۰۴	۱۰/-۰۰۰	۱۰/-۰۰۰
%An	۴۹/۰۶	۰۵/-۰۳	۲۲/۰۰	۴۶/۰۰	۴۶/۰۰	۴۱/۰۰	۴۴/۰۰

## ادامه جدول ۱ نتایج تجزیه میکروپریوب فنوكربستهای پلازموکلاز.

شماره نقطه	۱۱۹/۱۰۳	۱۲۰/۱۰۳	۱۲۱/۱۰۳	۱۲۲/۱۰۳	۱۲۳/۱۰۳	۱۲۴/۱۰۳	۱۲۵/۱۰۳	۱۲۶/۱۰۳
SiO <sub>2</sub>	۵۸,۴۰۵	۵۵,۷۲۴	۵۷,۰۵۹	۵۷,۷۸۴	۵۸,۲۶۱	۵۸,۹۱۸	۵۸,۷۹۷	
TiO <sub>2</sub>	-/۰۴۲	-/۰۱۹	-/۰۵۷	-	-/۰۴	-/۰۲۷	-/۰۳۴	
Al <sub>2</sub> O <sub>3</sub>	۲۶,۶۷۱	۲۷,۲۹	۲۶,۱۱۶	۲۶,۱۲۸	۲۵,۷۸۵	۲۵,۳۱۱	۲۵,۷۳۳	
FeO <sub>(t)</sub>	-/۱۹۷	-/۲۸۱	-/۴۲۲	-/۱۹۸	-/۳۷۶	-/۴۹۹	-/۳۱۲	
MnO	-/۰۱۹	-/۱۱۳	-/۰۵	-/۱۴۹	-/۰۳۲	-	-/۰۱۵	
MgO	-/۰۱۳	-/۰۰۳	-/۰۶	-/۰۳	-/۰۳۹	-/۰۳۹	-/۰۱۳	
CaO	۸,۸۲	۱,۰-۹۴	۸,۷۱۱	۹,۳۹۱	۸,۵۸	۸,۱۱۵	۸,۳۹۶	
Na <sub>2</sub> O	۶,۳۰۲	۵,۰۹۱	۶,۲۶۹	۶,۰۶۷	۶,۳۹۳	۶,۴۷۷	۶,۴۱۰	
K <sub>2</sub> O	-/۸۱۱	-/۴۸۰	-/۸۵۳	-/۸۲۳	-/۷۱۶	-/۷۸۰	-/۷۰	
P <sub>2</sub> O <sub>5</sub>	-	-	-	-	-	-	-	
Total	۱۰,۱۱۸	۹,۹۵۸	۹,۹۰	۱۰,۰۷۹	۱۰,۰۷۱	۱۰,۰۱۲	۱۰,۰۷۱	
%An	۴۱,۹۲	۴۱,۰۵	۴۱,۱۱	۴۴,۶۶	۴۰,۰۵	۳۹,۱۲	۴۰,۹۲	
شماره نقطه	۱۲۷/۱۰۳	۱۲۸/۱۰۳	۱۲۹/۱۰۳	۱۳۰/۱۰۳	۱۳۱/۱۰۳	۱۳۲/۱۰۳	۱۳۳/۱۰۳	
SiO <sub>2</sub>	۵۲,۹-۰	۵۶,۷۰۴	۵۸,۴-۹	۵۳,۳۷۱	۵۰,۹۶۷	۵۰,۱-۶	۵۰,۷۱	
TiO <sub>2</sub>	-	-/۰۲	-	-/۰۰۷	-/۰۱	-/۰۲-۰	-	
Al <sub>2</sub> O <sub>3</sub>	۲۹,۱۲۲	۲۵,۰۸۵	۲۵,۰-۸	۲۰,۷۶۹	۲۰,۰-۵	۲۰,۰۷۴	۱۶,۷۰۰	
FeO <sub>(t)</sub>	-/۱۴۱	-/۱۲۰	-/۲۸	-/۰۰۹	-	-	-	
MnO	-	-	-	-/۰۲۸	-/۰۱۹	-/۰۳۹	-/۰۰۵	
MgO	-/۰۰۹	-/۰۱۶	-/۰۱۶	-/۰۰۳	-/۰۰	-/۰۲۴	-/۰۰۱	
CaO	۱۲,۷۱۶	۱,۰۱۹	۱,۷۶۵	۱,۹۷۵	۱,۸۹۸	۱,۱۱۲	۱,۷-۰	
Na <sub>2</sub> O	۴,۳۹۲	۶,۰۱	۶,۲۱۳	۱,۰-۰۸۵	۱-۰۸۹	۱-۰۱۲	۰,۳۳۵	
K <sub>2</sub> O	-/۰۹۹	-/۰۰۳	-/۰۲۱	-/۰۰۷	-/۰۱	-/۰۳۸	-/۰۷	
P <sub>2</sub> O <sub>5</sub>	-	-	-	-	-	-/۰۰۳	-	
Total	۹۹,۴۲	۹۸,۱۰	۹۹,۹۳	۹۶,۷۷۵	۹۹,۳۱	۹۸,۷۲	۹۷,۰۱	
%An	۵۹,۹۲	۴-۰۱۷	۴۱,۱۷	۹,۰۳	۹,۰-۰	۱-۰۰۰	۸۸,۰-۰	
شماره نقطه	۲۰-۲/۱۲۲	۲۰-۳/۱۲۲	۲۲-۰-۱۲۲	۲۲۱/۱۲۲	۲۲۲/۱۲۲	۲۲۳/۱۲۲	۱۷۸,۱۷۱	
SiO <sub>2</sub>	۴۰,۷۹۷	۴۶,۰۳۱	۵۰,۰۹۳	۵۲,۹۹۴	۵۷,۰-۱۱	۵۷,۰-۳۸	۵۷,۰-۰	
TiO <sub>2</sub>	-	-	-	-/۱۲۲	-/۰۲۹	-/۰۰۶	-	
Al <sub>2</sub> O <sub>3</sub>	۳۶,۳۷۶	۳۷,۰۷۳	۲۵,۶۰۴	۲۸,۰۵۶	۲۶,۹۶۷	۲۶,۰۰۱	۱۹,۷۰۰	
FeO <sub>(t)</sub>	-/۸	-/۰۵	-/۲۸۹	-/۰۲۸۸	-/۰۰۵	-/۰-۲	-/۰۰۵	
MnO	-	-	-/۰۳	-/۰۰۱	-/۰۰۳	-/۰۲۲	-/۰۰۰	
MgO	-/۰۰۹	-/۰۶۹	-/۰۰۵	-/۰۰۵	-/۰۰۶	-/۰۷	-	
CaO	۱۸,۳۴۳	۱۷,۷۲۲	۱,۷۷۱	۱۲,۱-۲	۹,۸۸۵	۹,۹-۰	۰,۷۷۳	
Na <sub>2</sub> O	-/۰۰۵	۱,۳۴	۶,۰-۰۳	۴,۲۲۹	۵,۳۹۹	۵,۰۰۸	۱۱,۷۷۱	
K <sub>2</sub> O	-/۰۰۷	-/۰۷۷	-/۰۰۹	-/۰۰۷	-/۰۰۳	-/۰۳۹	-/۰۰۵	
P <sub>2</sub> O <sub>5</sub>	-	-	-	-	-	-	-	
Total	۱۰-۰-۱	۱۰-۰۲	۱۰-۰۳۹	۱۰-۰۰۱	۱۰-۰۰۸	۱۰-۰۰۰	۱۰-۰۰۱	
%An	۹۲,۰۰	۸۷,۰۰	۴۷,۰۰	۴۲,۰۰	۵۰,۰۰	۴۸,۰۰	۴۷,۰۰	

## ادامه جدول ۱ نتایج تجزیه میکروپرورب فنوکریستهای پلازموکلار

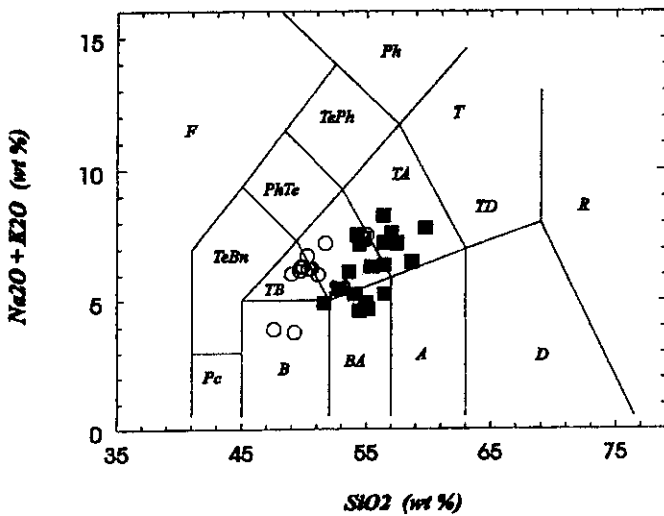
شماره نقطه	۱۷۹/۱۴۸	۱۸۰/۱۴۸	۱۸۱/۱۴۸	۱۸۲/۱۴۸
SiO <sub>2</sub>	۶۵/۹۶	۶۷/۱۴۶	۶۶/۲۲	۶۲/۹۰۹
TiO <sub>2</sub>	-	۰/۰۱	-	-
Al <sub>2</sub> O <sub>3</sub>	۲۰/۷۳۲	۲۰/۷۴۵	۱۹/۴۴۸	۲۰/۳۶۲
FeO <sub>(t)</sub>	۰/۰۵۳	۰/۰۵۸	۰/۰۸۹	۰/۰۱۲
MnO	۰/۰۱۸		۰/۰۰۱	۰/۰۸۲
MgO	۰/۰۷	-	-	۰/۰۷۳
CaO	۱/۰۲۷	۰/۹۳۴	۰/۷۰۳	۲/۰۰۹
Na <sub>2</sub> O	۱/۰۹۹	۱/۰۹۹	۱/۰۹۰	۹/۳۱۲
K <sub>2</sub> O	۰/۱۳۹	۰/۰۲۸	۰/۰۶۷	۰/۰۳۰
P <sub>2</sub> O <sub>5</sub>	-	۰/۰۱۸	-	-
Total	۹۹/۱۰	۹۹/۹۵	۹۷/۶۳	۹۶/۴۷
%An	۷/۹۹	۴/۸۱	۲/۷۶	۱/۷۶

## جدول ۲ نتایج تجزیه میکروپرورب فنوکریستهای پیروکسن.

شماره نقطه	۱۹۴/۱۲۲	۲۰۰/۱۲۲	۲۴۲/۱۲۲	۷/۱۳۵	۸/۱۳۵	۹/۱۳۵	۱۱/۱۳۵
SiO <sub>2</sub>	۵۲/۲۲۴	۵۱/۷۲۹	۵۲/۸۳۳	۵۱/۷۰۳	۵۲/۸۱۵	۵۲/۷۵	۵۱/۶۷۶
TiO <sub>2</sub>	۰/۰۸۱	۰/۰۸۰	۰/۰۶۳	۰/۰۵۰	۰/۰۷	۰/۰۴۷	۰/۰۵۰
Al <sub>2</sub> O <sub>3</sub>	۲/۳۱۹	۲/۲۷	۱/۴۰۹	۲/۱۰۷	۲/۱۷۵	۲/۱۱۹	۲/۱۰۲
FeO <sub>(t)</sub>	۸/۳۹۵	۸/۱۱۷	۸/۸۹۴	۸/۰۲۹	۸/۲۰۲	۷/۱۸	۸/۰۴۴
MnO	۰/۰۲۸	۰/۰۷۷	۰/۰۱۳	۰/۰۱۷	۰/۰۷۱	۰/۰۴۲	۰/۰۰۵
MgO	۱۵/۴۶۱	۱۶/۷۰۷	۱۵/۲۰۹	۱۵/۰۴۶	۱۵/۰۴۲	۱۵/۰۱۲	۱۵/۰۲۹
CaO	۲۱/۲۲۲	۲۱/۸۴	۲۰/۰۱۸	۲۱/۰۲۷	۲۰/۰۳۰	۲۱/۱۴۴	۲۱/۱۹۵
Na <sub>2</sub> O	۰/۰۱۳	۰/۰۲۰	۰/۰۲۰	۰/۰۱۱	۰/۰۳۵	۰/۰۳۸	۰/۰۳۶۲
K <sub>2</sub> O	۰/۰۰۳	-	-	-	-	-	۰/۰۰۱
P <sub>2</sub> O <sub>5</sub>	۰/۰۱۵	-	۰/۰۲۲	-	-	۰/۰۴۶	-
Total	۱۰/۰۰۶	۱۰/۰۰۸۵	۹۹/۶۳۵	۱۰/۰۰۸۱	۱۰/۰۰۳۹	۱۰/۰۰۸۵	۱۰/۰۰۳
شماره نقطه	۱۲/۱۳۵	۱۲/۱۳۵	۱۴/۱۳۵	۱۸/۱۳۵	۲۲/۱۴۶	۲۳/۱۴۶	۱۲۴/۱۰۵
SiO <sub>2</sub>	۵۲/۰۱۷	۵۱/۹۸۹	۵۱/۹۳۹	۵۲/۰۹۴	۵۲/۳۲۴	۵۲/۰۵۰	۵۲/۰۲۷
TiO <sub>2</sub>	۰/۰۸۸	۰/۰۸۸	۰/۰۹۲	۰/۰۶۷	۰/۰۱۸	۰/۰۹	۰/۰۱۲
Al <sub>2</sub> O <sub>3</sub>	۲/۱۲	۲/۰۰۷	۲/۹۹۲	۱/۰۷۸	۱/۰۷۷	۱/۰۸۴	۰/۰۸۳
FeO <sub>(t)</sub>	۸/۰۵۴	۸/۰۹۴	۸/۰۶۴	۸/۰۷	۸/۰۲۹۷	۹/۰۰۵	۸/۰۴۳
MnO	۰/۰۱۷	۰/۰۷۴	۰/۰۶۷	۰/۰۷۲	۰/۰۸۱	۰/۰۱۲	۰/۰۲۸
MgO	۱۵/۰۵	۱۵/۰۹۸	۱۵/۰۰۷	۱۵/۰۱۷	۱۵/۰۲۹	۱۵/۰۰۵	۱۴/۶۹۰
CaO	۲۰/۰۶۴	۲۱/۰۶۲	۲۱/۰۲۱	۲۱/۰۹۸	۲۰/۰۷۸۱	۲۰/۰۹۱	۲۲/۰۵۲
Na <sub>2</sub> O	۰/۰۷۸	۰/۰۸۴	۰/۰۳۷	۰/۰۷۸	۰/۰۳۳	۰/۰۹۳	۰/۰۶۰
K <sub>2</sub> O	۰/۰۰۳	۰/۰۰۳	-	-	-	-	-
P <sub>2</sub> O <sub>5</sub>	-	۰/۰۱۹	۰/۰۸۷	۰/۰۱۷	۰/۰۸	۰/۰۲۴	-
Total	۱۰/۰۰۵	۱۰/۰۰۹۲	۱۰/۰۰۸۷	۱۰/۰۰۸۱	۱۰/۰۰۳۴	۱۰/۰۰۸۱	۱۰/۰۰۳۸

## ادامه جدول ۲ نتایج تجزیه میکروپروب فنوكربیستهای پیروکسین.

شماره نقطه	۱۷۵/۱۴۸	۱۷۶/۱۴۸	۱۷۷/۱۴۸
$\text{SiO}_2$	۵۲/۴۶۴	۴۸/۷۵۸	۴۵/۹۸۶
$\text{TiO}_2$	-/۱۹۶	-/۱۵۵	۱/۲۶۳
$\text{Al}_2\text{O}_3$	۰/۷۳۴	۳/۸۰۶	۶/۶-۰
$\text{FeO}_{(t)}$	۰/۰۳	۶/۷۵۹	۸/۳۸۶
$\text{MnO}$	۰/۶۸۱	-/۱۴۳	-/۱۵۱
$\text{MgO}$	۱۴/۴۲۹	۱۴/۴۱۴	۱۲/۹۸۱
$\text{CaO}$	۲۱/۹۸۵	۲۲/۶۹۴	۲۲/۴۱۷
$\text{Na}_2\text{O}$	-/۳۲۶	-/۲۲۵	-/۲۶۳
$\text{K}_2\text{O}$	-	-	-
$\text{P}_2\text{O}_5$	۰/۰۱۹	-	-
Total	۹۶/۰۶	۹۷/۳۵	۹۸/۰۵



شکل ۲ ردهبندی شیمیابی نمونه‌های گدازه تراکی آندزیتی در نمودار TAS. جهت مقایسه پترولوزیکی، همراه با نمونه‌های تراکی آندزیتی (■)، نمونه‌های تراکی بازالتها (○) نیز آورده شده‌اند [۷].

## ویژگیهای شیمیابی و بافتی کانیها

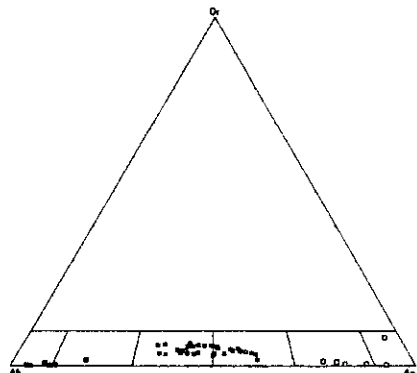
از آنجا که هدف این نوشتار، ارائه سلسله شواهدی مبنی بر روند تحولی ماغماهای تراکی آندزیتی منطقه آبرتش در سیستمی باز است که در آن ماغماهای حاصل از ذوب بخشی در یک مخزن ماغمایی اختلاط پیدا کرده‌اند، در ادامه مشخصات بافتی و شیمیابی هر یک از فنوكربیستهای موجود در سنگ به طور جداگانه مورد بحث قرار می‌گیرد و در پایان به بحث و نتیجه‌گیری

## (۱) فلدسپاتها

فنوکریست غالب سنگ، پلازیوکلاز و ندرتاً سانیدین است که فراوانی مودال مجموع آنها بیش از ۴۰٪ است. داده‌های تجزیه میکروپرورب همراه با مشاهدات میکروسکوپی، وجود اختصاصات زیر را در کانیهای مذکور نشان می‌دهد:

(الف) ترکیب چندگانه: نمایش داده‌های ترکیبی پلازیوکلاز بر حسب  $An\%$  روی مثلث ترکیب فلدسپاتها (شکل ۳) حاکی از وجود یک دامنه ترکیبی گسترده از پلازیوکلازها از آبیت نسبتاً خالص تا آنورتیت تقریباً خالص در نمونه‌هاست که با توجه به وجود وقفه‌های ترکیبی می‌توان آنها را به سه جمعیت جداگانه شامل:  $An_{5-20}$ ،  $An_{26-41}$ ، و بالاخره  $An_{77-92}$  تقسیم کرد. مسلماً این سه جمعیت که به فاصله کوتاهی از هم جدا می‌شوند، محصول بلور شدن آبگونهایی هستند که امکان همزیستی تعادلی در کنار هم را نداشته‌اند [۸ تا ۱۰].

(ب) منطقه‌بندی: همانند اغلب سنگهای آتشفشاری، پلازیوکلازهای این روانه گدازه نیز منطقه‌بندی ترکیبی نشان می‌دهند. نوع منطقه‌بندی با توجه به داده‌های میکروپرورب از چند نمونه پلازیوکلاز (جدول ۳) از نوع نوسانی تشخیص داده شد که خود حکایت از نوسان در شرایط فیزیکوشیمیایی حاکم بر سیستم بلوری شدن دارد [۸].



شکل ۳ نمایش سه مجموعه ترکیبی مختلف در فنوکریستهای پلازیوکلاز روانه تراکی آندزیتی با وقفه‌های فاحش بین آنها.

جدول ۳ مقادیر  $An\%$  در مناطق حاشیه، وسط و مرکز فنوکریست پلازیوکلاز. داده‌های ردیفهای اول و سوم، به ترتیب مربوط به شکلهای ۴-الف و ب هستند.

مرکز	وسط	حاشیه	شماره نمونه
%An	%An	%An	
۵۸	۶۰	۵۵	A.132
۸۸	۹۳	۸۱	A.132
۶۱	---	۴۵	A.122
۵۱	۵۷	۵۰	A.122
۴۴	۴۴	۳۸	A.140
۴۹	---	۴۳	A.140
۲۶	۳۸	۲۶	A.146
۴۲	۴۶	۴۲	A.153
۴۰	۴۳	۵۰	A.153

ج) حاشیه‌های واکنشی پتاسیک: پدیده غالب در مورد تمام پلازیوکلازها اعم از اینکه دارای منطقه‌بندی باشند یا نباشند، وجود حاشیه‌های واکنشی نازک در حد فاصل بین فنوکریست و خمیره شیشه‌ای آنهاست (شکل ۵-ب، ۵، ه). تجزیه شیمیایی این حاشیه‌ها، ترکیب‌شان را از نوع پتاسیم فلدسپات نشان داده است. با توجه به ترکیب پتاسیک کلی سنگ (K<sub>2</sub>O = ۳,۸% - ۱,۸%) و فراوانی کمتر فنوکریستهای پتاسیم فلدسپات، می‌توان نتیجه گرفت که ترکیب خمیره شیشه‌ای سنگ، پتاسیک باشد.

د) خورده‌گی شیمیایی: تقریباً در بیشتر فنوکریستها اعم از پلازیوکلاز، سانیدین، کوارتز و حتی برخی کانیهای مافیک، بافت‌های خورده‌گی مشاهده می‌شود (شکل ۶-ج، ۵) که این نیز نشان از ناپایداری فیزیک‌شیمیایی فنوکریستها در آبگونی اشباع شده از آن فاز در حین فوران و انجماد نهایی دارد [۱۱ و ۱۲ و ۱۳].

ه) بافت غربالی: به دام افتادن ورودیهای آبگون در پلازیوکلازهای این روانه، شکلهای مختلفی از بافت غربالی را ایجاد کرده است که از آن جمله است: ورودیهای آبگون موازی با سطوح ماکل، مدل منطقه‌بندی موازی با حاشیه بلور، مدل بلور اسکلتی شده (شکل ۵). با توجه به مشاهده چنین بافت‌هایی توسط مؤلفین مختلف [۱۶ تا ۱۳] می‌توان علت تشکیل آنها را به ناپایداری فنوکریستهای پلازیوکلاز در آبگون اشباع شده از آن و لذا تفاوت ترکیب فاحش بین آنها در نظر گرفت. این موضوع توسط این محققین و افراد دیگر [۱۰، ۱۲ و ۱۷ تا ۱۶] حمل بر اختلاط ماقمایی شده است.

(۲) اوژیت اوژیت دیوپسیدی با طیف ترکیب محدود (شکل ۷) هم به صورت فنوکریست و هم به صورت ذرات ریز داخل خمیره و بین میکرولیتها دیده می‌شود. از این رو تشکیل آن از ابتدا تا انتهای بلوری شدن با ترکیبی نسبتاً ثابت به طول انجامیده است.

با این حال، در مواردی به دلیل مشاهده بافت‌های غربالی، منطقه‌بندی (شکل ۴-ج) و حاشیه‌های واکنشی، می‌توان انتظار تغییرات فاحش خمیره در برگیرنده فنوکریستها را داشت. مسلماً ترکیب این خمیره پس از تشکیل فنوکریستها، تا حدودی از این فاز اشباع شده است که توئنسته است چنین شکلی را بوجود آورد. از طرفی حضور یک مورد بافت اکسولوشنی (شکل ۶-الف) در داخل پیروکسن و عدم حضور این بافت در سایر فنوکریستهای پیروکسن می‌تواند نشان دهنده شرایط متفاوت تشکیل این بلورها و عدم تعادل آنها با یکدیگر باشد. چرا که اکسولوشن در صورتی بوجود می‌آید که منحنیهای سالیدوس و سالووس از لحاظ دمایی با یکدیگر فاصله داشته باشند و به محض از بین رفتن فاصله دمایی بین آنها شاهد بلوری شدن همزمان بلورهای مجزای دو قطب انتهایی محلول جامد خواهیم بود. بنابراین حضور بلورهای

واجد اکسولوشن در کنار انواع فاقد این بافت می‌تواند نشانه وجود دو نسل متفاوت پیروکسن ناهمزیست در کنار هم و به عبارتی میان فرایند اختلاط مانگمای باشد.

### (۳) بیوتیت و آمفیبول

تجزیه شیمیایی دو نمونه بیوتیت و آمفیبول موجود در این روانه گدازه ترکیب دقیق آن را در محدوده فلوگوپیت آهن دار  $\text{Fe}_{1/2}(\text{Al},\text{Ti})_{1/2}(\text{Si},\text{Al})\text{O}_2(\text{OH},\text{F})_2$  و هورنبلند  $\text{K}_2(\text{Mg}_{2/3},\text{Fe}_{1/3})_{1/2}(\text{Si},\text{Al})\text{O}_2(\text{OH},\text{F})_2$  نشان می‌دهد که همگی پاراگازیتی شده دارند (شکل -۶-ب). پایداری کانیهای مافیک آبدار نظیر آمفیبول حاشیه‌های اپاسیتی شده با عناصر  $\text{P}_{\text{H}_2\text{O}}$  و پایین بودن نسبی فشار و دما و اشباع بودن آگون از عنصر مستلزم بالا بودن نسبی  $\text{P}_{\text{H}_2\text{O}}$  است [۱۸ تا ۲۰]. به علاوه، وجود آشکال اکسایش بیوتیت و آمفیبول، بر بالا بودن  $\text{Na}_2\text{O}$  و  $\text{P}_{\text{H}_2\text{O}}$  محیط دربرگیرنده فازهای فنوکریستی و از دست رفتن آب حين بالا آمدن صحه می‌گذارد که این می‌تواند موجب بروز حالت واجذبی کامل یا ناقص شود [۱۱ و ۱۸].

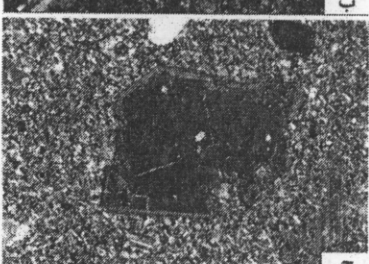
ماگنتیت در اثر تحمل حرارت زیاد و بالا از طرف مذاب دربرگیرنده. (ج) ایجاد و گسترش خلیج خورده‌گی در فنوکریست پلازیوکلаз توسط مذاب احاطه کننده که در ضمن باعث گردشگی آن نیز شده است. (د) پیشرفت خلیج خورده‌گی در فنوکریست کوارتز که باعث انفکاک دو قطعه و نیز گردشدن آن شده است. (به شکل -۴- ج نیز توجه شود).



الف

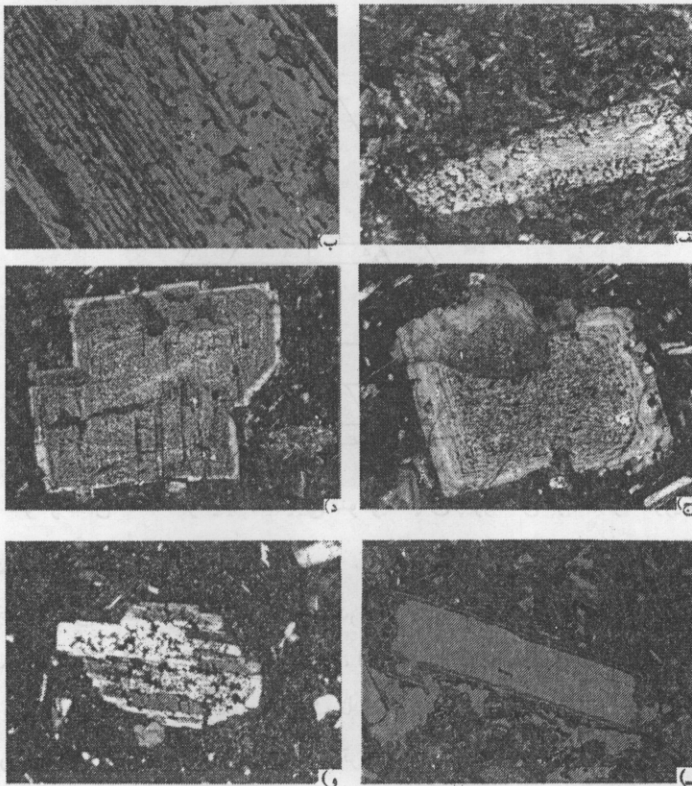


ب

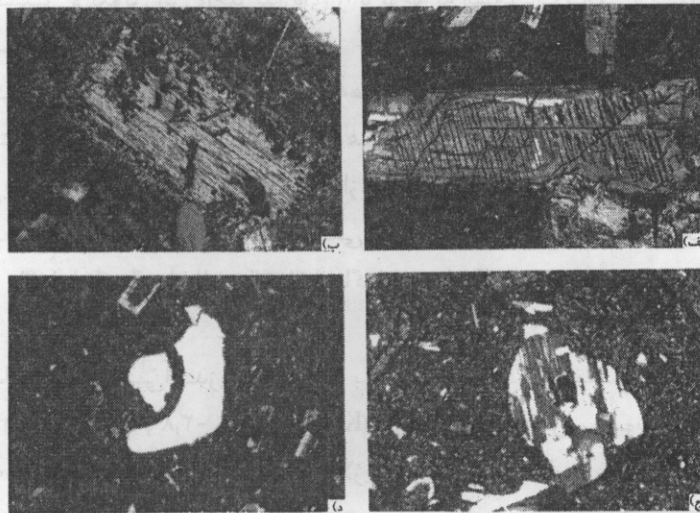


ج

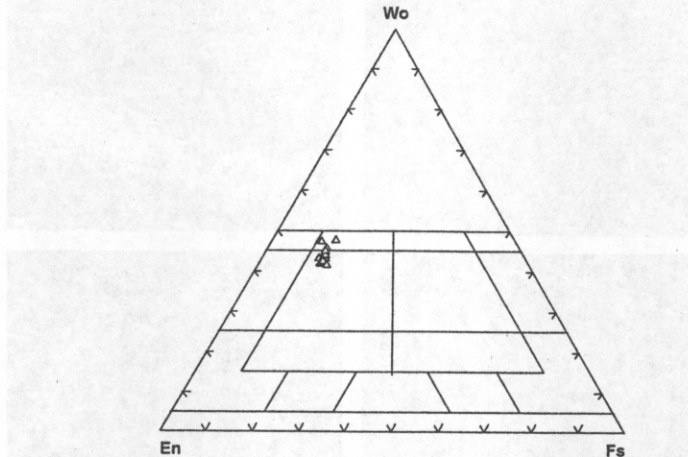
شکل ۴ نمایش انواع منطقه‌بندیها در فنوکریستهای پلازیوکلاز و پیروکسن. (الف) فنوکریست پلازیوکلاز دارای منطقه‌بندی نوسانی در یک زمینه تراکیتی. (ب) فنوکریست پلازیوکلاز دارای منطقه‌بندی نوسانی با هسته همگن و حاشیه‌های نازک از جنس پتابسیم فلدسپات. (ج) ظهور خلیج خورده‌گی در یک فنوکریست اوژیت دارای منطقه‌بندی. (داده‌های میکروپرورب شکلهای «الف» و «ب» در ردیفهای اول تا سوم جدول -۳ آورده شده‌اند).



شکل ۵ انواع بافت‌های غربالی در (الف) اوژیت و پلازیوکلаз؛ (ب) موازی با سطوح ماکل، (ج) مدل منطقه‌ای (د) پراکندگی همگن ادخالها در متن بلور و تشکیل حاشیه و اکنشی پتاسیک در اطراف آن. (ه) تمرکز در حاشیه‌ها و احاطه‌شدن با حاشیه و اکنشی پتاسیک. (و) تشکیل بلور اسکلتی در اثر گسترش خوردگی و به دام افتادن لکه‌های مذاب.



شکل ۶ بافت‌های مبین تغییرات شرایط فیزیکی بلور. (الف) تشکیل تیغه‌های اکسولوشنی ارتوبیروکسن به موازات سطح (۱۰۰) در بلور اوژیت میزان. (ب) اپاسیتی شدن بیوتیت و تشکیل بلورهای ریز.



شکل ۷ نمودار نشان دهنده ترکیب شیمیایی فنوکریستهای پیروکسن در محدوده اوزیت و سالیت.

#### بحث و بوداشت

تنوع و پیچیدگیهای بیشتر ولکانیسم پالئوژن در بخشهای غربی البرز نسبت به بخشهای مرکزی موجب شده است که علاوه بر فازهای انفجاری، فازهای کمتر انفجاری نیز به منصه ظهور برستند که بروん ریزی انواع مختلف گدازهای بازیک تا حد واسط و اسیدی از آن جمله است. نحوده تشکیل و روند تحولات روانه گدازه آندزیتی - تراکی آندزیتی منطقه آبروش به دلیل مشاهده روابط بافتی ویژه، گسترش زیاد و نیز میزانی انواع کانسارهای فلزی و غیر فلزی مورد توجه این بررسی قرار گرفت.

با استناد به داده‌های شیمی کانیهای مختلف و شواهد سنگ شناسی و سنگ زائی، می‌توان چگونگی تشکیل و تکوین این واحد گدازهای را با توجه به مشخصات بافتی و شیمیایی اشاره شده، به شرح زیر نتیجه گیری کرد:

(۱) چنانکه در شکل ۲ ملاحظه می‌شود نمونه‌های مبین گدازه تراکی آندزیتی با نمونه‌های تراکی بازالتی منطقه قرابت نزدیکی نشان می‌دهند. این پندار که ممکن است گدازه‌های تراکی آندزیتی با ترکیب اسیدی تر و آلکالن‌تر، از تفریق روانه‌های تراکی بازالتی بوجود آمده باشند با مجموعه خصوصیات یاد شده همانگی ندارد. بلکه این بررسی نشان می‌دهد که ارتباط دو مagma با یکدیگر، از طریق اختلاط magma همانگی بیشتری با شواهد به دست آمده دارد.

(۲) گدازه‌های تراکی آندزیتی منطقه، به دلیل دارا بودن مقدار آلکالیهای زیاد ( $K_2O = 1,8\%$  -  $3,8\%$ ،  $Na_2O = 1,8\%$  -  $3,8\%$ ) جزء سنگهای آلکالن محسوب می‌شوند. اما به دلیل آنکه فازهای فنوکریستی غالب سنگ (پلازیوکلاز و اوزیت) حاوی پتاسیم کمی هستند می‌توان نتیجه گرفت که بیشتر این مقدار پتاسیم را باید در مزوستاز سنگ جستجو کرد. از دیگر ملاحظه‌های حاشیه‌های واکنشی پتاسیک در گردآگرد برخی فنوکریستهای پلازیوکلاز و

خوردگی شیمیایی در اغلب فنوکریستها می‌تواند بر ناپایداری شیمیایی این فازها و اشباع بودن آنها در آبگون دربرگیرنده‌شان صحه گذارد [۱۱ تا ۱۴].

(۳) مشاهده سه جمعیت پلازیوکلаз با ترکیب متفاوت ( $An_{57-62}$  و  $An_{56-61}$  و نیز  $An_{77-82}$ ) احتمال بلوری شدن آنها از آبگونهای مختلف را تقویت می‌کند [۸ تا ۱۰]. به علاوه وجود انواع منطقه‌بندیهای نوسانی این کانیها، تغییرات ترکیبی فاز لیکیدوس در طول تبلور را نشان می‌دهد. این پدیده می‌تواند مبین ضربانهای ماقمایی با ترکیب مختلف به داخل مخزن ماقمایی نیز باشد.

(۴) از آنجا که بافت‌های غربالی در پلازیوکلازها از گسترش قابل توجهی برخوردارند، اشکال مختلف چنین بافتی، تفکر تشکیل آنها در اثر اختلاط ماقمایی را به ذهن متبار می‌سازد که مورد نظر مؤلفین مختلف نیز هست [۱۷ و ۱۶ و ۱۵ و ۱۴ و ۹ و ۱۰].

(۵) مشاهده سوختگی در کانیهای آبداری چون بیوتیت فلوگوبیتی و هورنبلند پاراگازیتی از یک طرف و بالابودن  $P_{H_2O}$  در انتهای تاریخ بلوری شدن از طرف دیگر، بالا بودن  $f_{O_2}$  هنگام بروون ریزی گذاره را نشان می‌دهد. به علاوه مشاهده بافت اکسولوشنی در برخی فنوکریستها پیروکسن در کنار انواع فاقد این بافت می‌تواند نشانه همزیستی دو نسل پیروکسن (یکی در شرایط  $P_{H_2O}$  بالا و دیگری در شرایط  $P_{H_2O}$  پایین) باشد که خود تأییدی بر وقوع فرایند اختلاط ماقمایی است. [۱۱ و ۱۸ و ۱۹].

(۶) مشاهده زینولیتهای مختلف (اعم از آتشفسانی و ساب ولکانیک) به عنوان قطعات بیگانه با سایر ساختارها و نیز وجود احتمالی زینوکریستهای حاصل از هضم آنها و یا از هر منشأ احتمالی دیگر، می‌تواند دلیلی دیگر بر ورود مواد به داخل مخزن ماقمایی به عنوان سیستمی باز باشد.

#### مراجع

- [1] De-Dual E., "Zur geologie des mittleren und unteren Karaj-Tales, Zentral Elburz (Iran)", Mitt.Geol.Inst.E.T.H.U., Thesis.Univ.Zurich, no.76 (1967) 125p.
- [2] Annells R.N., Arthurton R.S., Bazely R.A., Davies R.G., "Explanatory text of the Qazvin and Rasht quadrangle map (1:250000)", G.S.I. Rep., noE3,E4 (1975) 94p.
- [3] Stocklin J., Eftekhar-nezhad J., "Explanatory text of the Zanjan quadrangle map (1:250000)", G.S.I. Rep., noD4 (1969) 61p.

[۴] آسیابانها ع.، زمین شناسی و پتروزئن رخسارهای آتشفسانی منطقه یوزباشی چای (غرب قزوین). رساله دکتری دانشگاه تربیت مدرس (۱۳۸۰) ۳۲۱ ص.

[۵] درویش زاده ع.، آسیابانها ع.، نقش آذرآوارهای در گسترش ترجیحی دگرسانی گرمایی در منطقه آتشفسانی آبرش، فصلنامه علوم زمین، شماره ۲۷-۲۸ (۱۳۸۰) ۴۸-۵۹ ص.

- [۶] حسینی م، آلویت رایی در منطقه طارم، مجموعه مقالات دومین همایش انجمن زمین شناسی ایران (۱۳۷۷) ص ۱۷۹-۱۸۵
- [۷] Le Maitre R.W.(eds), "A classification of igneous rocks and glossary of terms", (1989), Blackwell. 128p.
- [۸] Halsor S.P., "Large glass inclusions in plagioclase phenocrysts and their bearing on the origin of mixed andesitic lavas at Toliman Volcano, Guatemala", Bull Volcanol 51 (1989) 271-280
- [۹] Eichberger J.C., "Andesites in island arcs and continental margins: relationships to crustal evolution", Bull. Volcanol 41 (1978) 480-500
- [۱۰] Nelson S.T., Montana A., "Sieve-textured plagioclase in volcanic rocks produced by rapid decompression", American Mineralogist 77 (1992) 1242-1249
- [۱۱] Best M.G., Christiansen E.H., "Igneous Petrology", Blackwell (2001) 458p.
- [۱۲] Bard J.P., "Microtextures of igneous and metamorphic rocks", Reidel (1986) 264p.
- [۱۳] Tsuchiyama A., "Dissolution kinetics of plagioclase in the melt of the system diopside-albite-anorthite and origin of dusty plagioclase in andesites", Contrib.Mineral.Petrol. 89 (1985) 1-16
- [۱۴] Stamatelopoulou-Seymor K., Vlassopoulos D., Pearce H.T., Rice C., "The record of magma chamber processes in plagioclase phenocryst at Thera Volcano, Aegean Volcanic Arc, Greece", Cont. Min. Pet. 104 (1990) 73-84.
- [۱۵] Singer S.B., Pearce H.T., Kolisnik A.M., Myers D.J., "Plagioclase zoning in mid-Pleistocene lavas from the Seguam volcanic center, central Aleutian arc", Alaska. Am. Min. 78(1993) 143-157.
- [۱۶] Kawamoto T., "Dusty and honeycomb plagioclase: indicators of processes in the Uchino stratified magma chamber", Izu Peninsula, Japan. Journal of Volcanology and Geothermal Research. 49(1992) 191-208.
- [۱۷] Dungan M.A., Rhodes J.M., "Residual glasses and melt inclusions in basalts from DSDP Legs 45 and 46: evidence from magma mixing", Contrib.Mineral.Petrol. 67 (1978) 417-431
- [۱۸] Hess P.C., "Origins of Igneous Rocks", Harvard University. Cambridge. (1989) 336p.
- [۱۹] Sigurdsson H., Houghton B., Rymer H., Stix J., McNutt S., "Encyclopedia of Volcanoes", Academic Press. (2000) 1000p.
- [۲۰] Merzbacher C., Eggler DH., "A magmatic geohygrometer: Application to Mount St. Helens and other dacitic magmas", Geology 14 (1984) 804-806
- [۲۱] درویش زاده ع، پترولوزی، انتشارات دانشگاه پیام نور (۱۳۸۲) ص ۳۱۰
- [۲۲] کریم پور م.ح، پترولوزی سنجهای آذرین و کانسارهای ماقمایی، نشر مشهد (۱۳۷۷) ص ۳۴۳